

УДК 548.737+546.59

**ВВЕДЕНИЕ АТОМОВ ГАЛОГЕНА
В ТЕТРААЗАМАЛЛОКОМПЛЕКСЫ ЗОЛОТА(III). КРИСТАЛЛИЧЕСКАЯ
И МОЛЕКУЛЯРНАЯ СТРУКТУРА $[Au(C_9H_{18}N_4Br)](ClO_4)_2$ И $[Au(C_{14}H_{20}N_4Br_2)]ClO_4$**

© 2007 **В.А. Афанасьева*, Л.А. Глинская, Р.Ф. Клевцова,
И.В. Миронов, Л.А. Шелудякова**

Институт неорганической химии им. А.В. Николаева СО РАН, Новосибирск

Статья поступила 5 мая 2006 г.

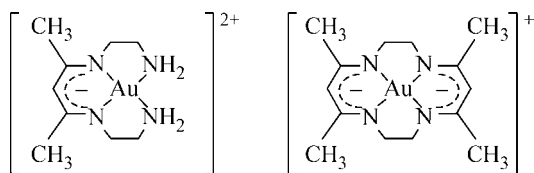
Показана возможность использования иона AuX_4^- ($X=Cl, Br$) как мягкого селективного галогенирующего агента для введения атомов галогена в β -положение шестичленных колец тетраазаметаллокомплексов золота(III). Синтезированы β -бромированные ациклический и макроциклический комплексы золота(III) — N,N'-бис(2-аминоэтил)-3-бromo-2,4-пентандииминатозолото(III) бисперхлорат (**III**) и 6,13-дibromo-5,7,12,14-тетраметил-1,4,8,11-тетрааза-4,6,11,13-тетраенатозолото(III) перхлорат (**VI**). Соединения охарактеризованы методами элементного, рентгенофазового анализов, ИК и электронной спектроскопии, определены кристаллические структуры. Кристаллы моноклинные; **III**: $a = 20,1643(7)$, $b = 7,2932(2)$, $c = 25,5391(9)$ Å; $\beta = 109,545(1)$ °, $V = 3539,4(2)$ Å³, $Z = 4$, пространственная группа $P2_1/c$; **VI**: $a = 9,9991(3)$, $b = 7,3639(2)$, $c = 12,9242(4)$ Å; $\beta = 96,922(1)$ °, $V = 944,70(5)$ Å³, $Z = 2$, пространственная группа $P2/c$. Структуры построены из практически плоских катионов $[Au(C_9H_{18}N_4Br)]^+$ (**III**), $[Au(C_{14}H_{20}N_4Br_2)]^+$ (**VI**) и перхлорат-анионов ClO_4^- . Атомы золота в обоих соединениях координированы четырьмя атомами азота, образующими плоский квадрат. Введение атомов галогена (Cl, Br) в β -положение шестичленных колец тетраазаметаллоциклов не приводит к существенному изменению длин делокализованных связей C ≡ N и C ≡ C.

Ключевые слова: золото, тетраазаметаллоциклы, β -бромированные, синтез, кристаллическая и молекулярная структура, электронные спектры, ИК спектры.

ВВЕДЕНИЕ

Характерным свойством металлокомплексов, содержащих в структуре шестичленные димиинатные кольца, является способность центрального β -углеродного атома к реакциям электрофильного присоединения и замещения. Это свойство широко используют для получения соединений, содержащих периферические группы [1]. Так, бромсодержащие тетраазамакроциклические комплексы переходных металлов получают либо в результате темплатного синтеза, используя в качестве одного из темплатных агентов бромсодержащие прекурсоры [2, 3], либо в результате непосредственного бромирования лиганда при использовании в качестве бромирующих агентов N-бромсукцинида или свободного брома [4, 5]. Отметим, что непосредственное бромирование лиганда осуществляется только для тетраазааннуленовых макроциклических комплексов металлов, содержащих шесть ненасыщенных связей в макрокольце. Однако нами [6, 7] показана возможность введения атома хлора в димиинатные и тетрамиинатные тетраазаметаллокомплексы золота(III) $[AuA]^{2+}$ и $[AuB]^+$ по реакциям

* E-mail: vala@che.nsk.su



При этом в качестве хлорирующего агента выступает ион AuCl_4^- . Выделены и изучены физико-химическими методами $[\text{Au}(\text{C}_9\text{H}_{18}\text{N}_4\text{Cl})](\text{ClO}_4)_2$ (**II**) и $[\text{Au}(\text{C}_{14}\text{H}_{20}\text{N}_4\text{Cl}_2)]\text{ClO}_4$ (**V**). В настоящей работе представлены результаты синтеза и исследования β -бромированных ациклического и макроциклического тетраазаметаллокомплексов золота(III) $[\text{Au}(\text{C}_9\text{H}_{18}\text{N}_4\text{Br})](\text{ClO}_4)_2$ (**III**) и $[\text{Au}(\text{C}_{14}\text{H}_{20}\text{N}_4\text{Br}_2)]\text{ClO}_4$ (**VI**). Комплексы изучены методами элементного, рентгенофазового и рентгеноструктурного анализов, ИК и электронной спектроскопии.

ЭКСПЕРИМЕНТАЛЬНАЯ ЧАСТЬ

Использованные в работе реагенты имели следующую квалификацию: NaClO_4 , HBr , HNO_3 , этилендиамин — "х.ч.", толуол — "ч.д.а.", диметилформамид — "ч.", этиловый спирт — ректифицированный, диэтиловый эфир — медицинский. Раствор HAuBr_4 готовили растворением золота (99,96 %) в смеси бромисто-водородной и азотной кислот (3:1) с последующим упариванием с HBr до отсутствия в парах оксидов азота. Упаривание продолжали до прекращения выделения белых паров бромисто-водородной кислоты. $\text{N,N}'\text{-бис}(2\text{-аминоethyl})\text{-2,4-пентандииминатозолото(III)}$ бисперхлорат $[\text{Au}(\text{C}_9\text{H}_{19}\text{N}_4)](\text{ClO}_4)_2$ (**I**) синтезировали по методике, приведенной в [8]. 5,7,12,14-Тетраметил-1,4,8,11-тетраазациклогексадека-4,6,11,13-тетраенатозолото(III) бромид $[\text{Au}(\text{C}_{14}\text{H}_{22}\text{N}_4)]\text{Br}$ (**IV**) получали согласно [7].

Бромсодержащие тетраазаметаллокомплексы золота(III) получены следующим образом.

[\text{Au}(\text{C}_9\text{H}_{18}\text{N}_4\text{Br})](\text{ClO}_4)_2 (**III**). К 0,25 г комплекса $[\text{AuA}](\text{ClO}_4)_2$ прилили 10 мл спирта, смесь нагревали и при перемешивании магнитной мешалкой добавили по каплям 1,3 мл раствора HAuBr_4 (0,87 ммоль) ($n_{\text{AuA}}:n_{\text{AuBr}_4} = 1:2$). Моментально образовался темно-коричневый осадок. После перемешивания смеси при нагревании в течение 2 ч отфильтровали кирпично-красный осадок от винно-красного маточника, промыли спиртом, эфиром, высушили. Осадок растворили на фильтре в 3 мл ДМФА. К полученному раствору добавили порциями 1,4 г NaClO_4 , затем 25 мл спирта. Оранжево-красный осадок отфильтровали, промыли спиртом, эфиром, высушили. Осадок вновь растворили на фильтре, добавляя порциями 22 мл воды. К полученному винно-красному раствору добавляли 1,4 г NaClO_4 . Смесь охлаждали до $\sim 5^\circ\text{C}$, отфильтровали красно-оранжевый осадок, промывали спиртом, эфиром, высушивали. Выход 0,18 г (63 %). Найдено, %: C 16,7; H 2,7; N 8,2; Cl 10,6; Br 12,2. Для $\text{AuN}_4\text{C}_9\text{H}_{18}\text{BrCl}_2\text{O}_8$ вычислено, %: C 16,43; H 2,76; N 8,51; Cl 10,78; Br 12,14.

[\text{Au}(\text{C}_{14}\text{H}_{20}\text{N}_4\text{Br}_2)]\text{ClO}_4 (**VI**). К 0,25 г комплекса $[\text{AuB}]\text{Br}$ прилили 10 мл спирта, 1,5 мл ДМФА, 0,23 мл бромисто-водородной кислоты (2 ммоля) и при перемешивании магнитной мешалкой добавили по каплям 1,3 мл раствора HAuBr_4 (1,1 ммоль) ($n_{\text{AuB}}:n_{\text{AuBr}_4} = 1:3$). Моментально образовался серо-коричневый осадок. После перемешивания смеси в течение нескольких часов отфильтровали коричневый осадок от винно-красного маточника, промыли спиртом, эфиром. Осадок растворили на фильтре в 8,5 мл ДМФА. К полученному винно-красному раствору добавили 2 г NaClO_4 , оранжевый осадок отфильтровали, промыли спиртом, эфиром, высушили, вновь растворили в ДМФА (6 мл) и осадили перхлоратом натрия (1,5 г). Выход 0,21 г (78 %). Найдено, %: C 24,2; H 3,0; N 8,0; Cl 4,9; Br 22,9. Для $\text{AuN}_4\text{C}_{14}\text{H}_{20}\text{Br}_2\text{ClO}_4$ вычислено, %: C 24,00; H 2,88; N 8,00; Cl 5,06; Br 22,81.

Таблица 1

Кристаллографические характеристики и детали эксперимента для соединений III и VI

Соединение	III	VI
Молекулярный вес	1316,10	700,58
Сингония	Моноклинная	Моноклинная
Простр. группа	$P2_1/c$	$P2/c$
Параметры элем. ячейки, Å, град.	$a = 20,1643(7)$, $b = 7,2932(2)$, $c = 25,5391(9)$, $\beta = 109,545(1)$	$a = 9,9991(3)$, $b = 7,3639(2)$, $c = 12,9242(4)$, $\beta = 96,922(1)$
Объем, Å^3	3539,4(2)	944,70(5)
$Z; d_{\text{выч}}, \text{г/см}^3$	4; 2,470	2; 2,463
Коэф. погл., мм^{-1}	10,919	12,186
$F(000)$	2496	660
Диапазон θ , град.	1,07—25,00	2,77—24,99
N_{hkl} измер./ N_{hkl} незав.	27778/6128	4712/1626
Метод уточнения	[$R(\text{int}) = 0,0444$]	[$R(\text{int}) = 0,0359$]
$N_{hkl}/N_{\text{пар}}$	МНК полноматр. по F^2	МНК полноматр. по F^2
GOOF для F^2	6128/2/482	1626/126
R -фактор, $I > 2\sigma(I)$	0,926	1,228
R -фактор (по всем I_{hkl})	$R1 = 0,0386$; $wR2 = 0,1000$ $N_{hkl} = 4949$	$R1 = 0,0349$; $wR2 = 0,0847$ $N_{hkl} = 1572$
	$R1 = 0,0524$; $wR2 = 0,1139$	$R1 = 0,0363$; $wR2 = 0,0853$

Элементный анализ на C, H, N, Cl, Br проводили в Лаборатории микроанализа НИОХ СО РАН. Изучение процессов в растворе проводили спектрофотометрически (спектрофотометр Specord UV-VIS). ИК спектры снимали на фурье-спектрометре Scimitar FTS 2000 в области 3800—400 cm^{-1} , образцы готовили в виде суспензий в вазелиновом и фторированном масле.

Монокристаллы соединения III выращены при медленном испарении его водного раствора, монокристаллы VI получены из раствора комплекса в ДМФА.

Для рентгеноструктурного исследования были отобраны прозрачные ярко-оранжевые кристаллы обоих комплексов. Детали эксперимента и кристаллографические характеристики комплексов приведены в табл. 1. Кристаллы характеризуются моноклинной симметрией и пространственными группами $P2_1/c$ (III) и $P2/c$ (VI).

Структуры расшифрованы прямым методом и уточнены полноматричным МНК в анизотропном для неводородных атомов приближении по комплексу программ SHELX-97 [9]. Позиции атомов H рассчитаны геометрически и включены в уточнение в изотропном приближении.

Окончательные значения позиционных и эквивалентных изотропных тепловых параметров базисных атомов приведены в табл. 2 и 4, а основные межатомные расстояния и валентные углы — в табл. 3 и 5. Таблицы координат атомов водорода и анизотропных тепловых параметров, а также таблицы значений структурных факторов могут быть получены у авторов.

РЕЗУЛЬТАТЫ И ИХ ОБСУЖДЕНИЕ

Бромирование дииминатного и тетриминатного тетраазаметаллокомплексов золота(III) $[\text{AuA}]^{2+}$ и $[\text{AuB}]^+$ протекает в водном бромисто-водородном либо органическом (спирт, ДМФА) растворе по реакциям (3) и (4):



Процессы бромирования лигандов (3), (4) аналогичны процессам хлорирования (1), (2); в них мягким селективным галогенирующим агентом является ион AuX_4^- ($\text{X} = \text{Cl}, \text{Br}$). Процессы

Таблица 2

Координаты базисных атомов ($\times 10^4$) и их эквивалентные изотропные тепловые параметры ($\times 10^3$) в структуре III

Атом	<i>x</i>	<i>y</i>	<i>z</i>	$U_{\text{экв}}$	Атом	<i>x</i>	<i>y</i>	<i>z</i>	$U_{\text{экв}}$
Au(1)	3389(1)	7113(1)	6417(1)	32(1)	Au(1A)	-1469(1)	6878(1)	-3617(1)	32(1)
N(1)	3625(4)	7579(10)	5737(3)	41(2)	N(1A)	-1664(4)	7264(9)	-4422(3)	37(2)
N(2)	2361(4)	7333(10)	6042(3)	39(2)	N(2A)	-2467(4)	6991(9)	-3667(3)	38(2)
N(3)	4445(4)	6899(11)	6796(3)	48(2)	N(3A)	-447(4)	6716(14)	-3585(3)	52(2)
N(4)	3129(4)	6735(11)	7114(3)	43(2)	N(4A)	-1278(4)	6533(11)	-2784(3)	47(2)
C(1)	4402(5)	7605(15)	5846(4)	54(3)	C(1A)	-1024(5)	7060(15)	-4575(4)	56(3)
C(2)	4756(5)	8054(15)	6451(4)	59(3)	C(2A)	-408(4)	7717(14)	-4096(4)	47(2)
C(3)	1977(5)	7389(14)	6442(4)	49(2)	C(3A)	-2535(5)	7057(14)	-3108(4)	46(2)
C(4)	2370(4)	6264(15)	6933(4)	49(2)	C(4A)	-1960(5)	5955(16)	-2721(4)	57(3)
C(5)	3160(5)	7568(12)	5227(4)	46(2)	C(5A)	-2312(5)	7305(11)	-4803(3)	36(2)
C(6)	2432(5)	7635(12)	5125(4)	46(2)	C(6A)	-2925(4)	7360(11)	-4654(4)	40(2)
C(7)	2059(5)	7656(12)	5510(4)	43(2)	C(7A)	-2995(4)	7363(12)	-4129(4)	39(2)
C(8)	3440(6)	7539(15)	4757(4)	58(3)	C(8A)	-2364(6)	7285(17)	-5395(4)	58(3)
C(9)	1286(5)	8029(17)	5306(5)	62(3)	C(9A)	-3700(5)	7674(17)	-4060(5)	61(3)
Br(1)	1857(1)	7720(1)	4355(1)	62(1)	Br(1A)	-3790(1)	7452(2)	-5271(1)	65(1)
Cl(1)	912(1)	8377(3)	2800(1)	42(1)	Cl(3)	3676(1)	13108(3)	2085(1)	46(1)
O(1)	351(4)	9696(10)	2682(3)	69(2)	O(9)	4199(4)	14463(11)	2277(3)	82(3)
O(2)	873(4)	7135(10)	3220(3)	67(2)	O(10)	3730(6)	12185(14)	1624(4)	104(3)
O(3)	1569(3)	9297(10)	2980(3)	64(2)	O(11)	3023(5)	13975(15)	1956(5)	122(4)
O(4)	846(4)	7346(9)	2301(3)	55(2)	O(12)	3737(6)	11845(12)	2522(4)	101(4)
Cl(2)	4274(1)	7299(3)	3492(1)	51(1)	Cl(4)	-690(1)	7774(4)	-1160(1)	57(1)
O(5)	3575(6)	6870(20)	3319(5)	142(5)	O(13)	-21(8)	8030(30)	-888(7)	223(9)
O(6)	4521(6)	8428(16)	3957(4)	115(4)	O(14)	-1134(11)	8380(30)	-925(8)	305(14)
O(7)	4447(5)	8067(13)	3034(3)	88(3)	O(15)	-854(5)	8782(13)	-1668(3)	118(3)
O(8)	4670(7)	5662(15)	3647(5)	150(5)	O(16)	-759(11)	5945(13)	-1299(9)	279(13)

Таблица 3

Основные межатомные расстояния d , Å и валентные углы ω , град. в структуре III

Связь	<i>d</i>		Связь	<i>d</i>	
	1	2		3	4
Au(1)—N(2)		1,977(7)	Au(1A)—N(2A)		1,977(7)
Au(1)—N(1)		1,977(7)	Au(1A)—N(1A)		1,979(7)
Au(1)—N(3)		2,026(7)	Au(1A)—N(3A)		2,041(8)
Au(1)—N(4)		2,036(7)	Au(1A)—N(4A)		2,050(7)
N(1)—C(5)		1,323(12)	N(1A)—C(5A)		1,342(11)
N(1)—C(1)		1,497(12)	N(1A)—C(1A)		1,477(11)
N(2)—C(7)		1,308(11)	N(2A)—C(7A)		1,321(11)
N(2)—C(3)		1,476(12)	N(2A)—C(3A)		1,483(11)
N(3)—C(2)		1,501(13)	N(3A)—C(2A)		1,521(13)
N(4)—C(4)		1,483(11)	N(4A)—C(4A)		1,500(12)
C(1)—C(2)		1,500(14)	C(1A)—C(2A)		1,503(13)
C(3)—C(4)		1,493(13)	C(3A)—C(4A)		1,481(13)
C(5)—C(6)		1,405(14)	C(5A)—C(6A)		1,413(13)
C(5)—C(8)		1,489(13)	C(5A)—C(8A)		1,481(13)

О к о н ч а н и е т а б л. 2

1	2	3	4
C(6)—C(7)	1,424(14)	C(6A)—C(7A)	1,394(13)
C(6)—Br(1)	1,923(9)	C(6A)—Br(1A)	1,921(8)
C(7)—C(9)	1,497(13)	C(7A)—C(9A)	1,506(13)
Cl(1)—O(3)	1,418(7)	Cl(3)—O(5)	1,386(10)
Cl(1)—O(2)	1,422(7)	Cl(3)—O(6)	1,389(9)
Cl(1)—O(1)	1,436(7)	Cl(3)—O(8)	1,446(10)
Cl(1)—O(4)	1,442(7)	Cl(3)—O(7)	1,446(8)
Cl(2)—O(13)	1,393(9)	Cl(4)—O(32)	1,252(13)
Cl(2)—O(14)	1,397(9)	Cl(4)—O(31)	1,298(13)
Cl(2)—O(11)	1,408(8)	Cl(4)—O(34)	1,364(9)
Cl(2)—O(21)	1,423(8)	Cl(4)—O(33)	1,440(11)
Угол	ω	Угол	ω
N(2)—Au(1)—N(1)	94,7(3)	O(5)—Cl(3)—O(6)	116,1(8)
N(2)—Au(1)—N(3)	179,4(3)	O(5)—Cl(3)—O(8)	110,7(9)
N(1)—Au(1)—N(3)	84,7(3)	O(6)—Cl(3)—O(8)	103,4(7)
N(2)—Au(1)—N(4)	84,1(3)	O(5)—Cl(3)—O(7)	108,9(6)
N(1)—Au(1)—N(4)	177,6(3)	O(6)—Cl(3)—O(7)	110,1(6)
N(3)—Au(1)—N(4)	96,4(3)	O(8)—Cl(3)—O(7)	107,1(7)
C(5)—N(1)—C(1)	122,3(8)	O(32)—Cl(4)—O(31)	117,7(16)
C(5)—N(1)—Au(1)	124,2(6)	O(32)—Cl(4)—O(34)	111,8(15)
C(1)—N(1)—Au(1)	112,7(6)	O(31)—Cl(4)—O(34)	105,8(11)
C(7)—N(2)—C(3)	122,7(8)	O(32)—Cl(4)—O(33)	105,0(9)
C(7)—N(2)—Au(1)	124,4(7)	O(31)—Cl(4)—O(33)	106,8(11)
C(3)—N(2)—Au(1)	112,2(6)	O(34)—Cl(4)—O(33)	109,4(11)
C(2)—N(3)—Au(1)	104,8(6)	N(2A)—Au(1A)—N(1A)	94,7(3)
C(4)—N(4)—Au(1)	107,7(5)	N(2A)—Au(1A)—N(3A)	178,3(3)
N(1)—C(1)—C(2)	107,4(8)	N(1A)—Au(1A)—N(3A)	84,1(3)
C(1)—C(2)—N(3)	109,6(8)	N(2A)—Au(1A)—N(4A)	84,7(3)
N(2)—C(3)—C(4)	108,2(7)	N(1A)—Au(1A)—N(4A)	178,7(3)
N(4)—C(4)—C(3)	109,4(7)	N(3A)—Au(1A)—N(4A)	96,6(3)
N(1)—C(5)—C(6)	122,3(9)	C(5A)—N(1A)—C(1A)	122,2(8)
N(1)—C(5)—C(8)	117,1(9)	C(5A)—N(1A)—Au(1A)	124,3(6)
C(6)—C(5)—C(8)	120,5(9)	C(1A)—N(1A)—Au(1A)	112,0(6)
C(5)—C(6)—C(7)	129,3(8)	C(7A)—N(2A)—C(3A)	123,3(7)
C(5)—C(6)—Br(1)	115,3(7)	C(7A)—N(2A)—Au(1A)	124,3(6)
C(7)—C(6)—Br(1)	115,4(7)	C(3A)—N(2A)—Au(1A)	110,9(5)
N(2)—C(7)—C(6)	122,9(8)	C(2A)—N(3A)—Au(1A)	106,2(5)
N(2)—C(7)—C(9)	117,2(9)	C(4A)—N(4A)—Au(1A)	106,5(6)
C(6)—C(7)—C(9)	119,9(9)	N(1A)—C(1A)—C(2A)	108,2(8)
O(3)—Cl(1)—O(2)	109,9(5)	C(1A)—C(2A)—N(3A)	106,3(8)
O(3)—Cl(1)—O(1)	109,6(5)	C(4A)—C(3A)—N(2A)	108,9(7)
O(2)—Cl(1)—O(1)	110,1(5)	C(3A)—C(4A)—N(4A)	108,6(8)
O(3)—Cl(1)—O(4)	109,6(5)	N(1A)—C(5A)—C(6A)	122,2(8)
O(2)—Cl(1)—O(4)	108,7(4)	N(1A)—C(5A)—C(8A)	117,5(8)
O(1)—Cl(1)—O(4)	109,0(4)	C(6A)—C(5A)—C(8A)	120,3(8)
O(13)—Cl(2)—O(14)	110,4(7)	C(7A)—C(6A)—C(5A)	129,6(8)
O(13)—Cl(2)—O(11)	111,9(6)	C(7A)—C(6A)—Br(1A)	115,8(7)
O(14)—Cl(2)—O(11)	107,4(6)	C(5A)—C(6A)—Br(1A)	114,6(7)
O(13)—Cl(2)—O(21)	110,4(6)	N(2A)—C(7A)—C(6A)	123,2(8)
O(14)—Cl(2)—O(21)	107,2(7)	N(2A)—C(7A)—C(9A)	116,1(8)
O(11)—Cl(2)—O(21)	109,4(5)	C(6A)—C(7A)—C(9A)	120,6(8)

Таблица 4

Координаты базисных атомов ($\times 10^4$) и их эквивалентные изотропные тепловые параметры ($\text{\AA}^2 \times 10^3$) в структуре VI

АТОМ	<i>x/a</i>	<i>y/b</i>	<i>z/c</i>	<i>U_{экв}</i>	АТОМ	<i>x/a</i>	<i>y/b</i>	<i>z/c</i>	<i>U_{экв}</i>
Au(1)	0	2184(1)	2500	37(1)	C(5)	1910(9)	2191(11)	929(8)	51(2)
N(1)	-1078(7)	2214(9)	1106(6)	49(2)	C(6)	-1543(13)	2797(15)	-740(9)	76(3)
N(2)	1751(6)	2162(9)	1932(6)	46(2)	C(7)	3358(11)	2002(15)	685(10)	77(3)
C(1)	-2528(9)	2422(14)	1214(8)	60(2)	Br(1)	1309(2)	2740(2)	-1228(1)	85(1)
C(2)	-2846(8)	1693(13)	2233(8)	62(3)	Cl(1)	-5000	6821(5)	2500	69(1)
C(3)	-561(10)	2453(10)	231(7)	50(2)	O(1)	-6149(11)	5824(16)	2469(9)	146(5)
C(4)	825(10)	2413(10)	151(7)	52(2)	O(2)	-5091(12)	7968(17)	1625(12)	174(6)

Таблица 5

Основные межатомные расстояния d , \AA и валентные углы ω , град. в структуре VI

Связь	<i>d</i>	Связь	<i>d</i>
Au(1)—N(2)	1,978(7)	C(3)—C(4)	1,403(14)
Au(1)—N(1)	1,985(7)	C(3)—C(6)	1,519(13)
N(1)—C(3)	1,310(12)	C(4)—C(5)	1,397(13)
N(1)—C(1)	1,482(11)	C(4)—Br(1)	1,917(9)
N(2)—C(5)	1,325(12)	C(5)—C(7)	1,525(13)
N(2)—C(2)	1,483(11)	Cl(1)—O(1)	1,360(9)
C(1)—C(2)	1,492(14)	Cl(1)—O(2)	1,406(11)
Угол	ω	Угол	ω
N(2)—Au(1)—N(2)'	179,1(4)	N(1)—C(3)—C(6)	116,9(9)
N(2)—Au(1)—N(1)	94,1(3)	C(4)—C(3)—C(6)	119,3(9)
N(2)'—Au(1)—N(1)	85,9(3)	C(5)—C(4)—C(3)	129,6(9)
N(1)—Au(1)—N(1)'	178,7(4)	C(5)—C(4)—Br(1)	115,0(7)
C(3)—N(1)—C(1)	124,1(8)	C(3)—C(4)—Br(1)	115,4(7)
C(3)—N(1)—Au(1)	123,9(6)	N(2)—C(5)—C(4)	122,2(8)
C(1)—N(1)—Au(1)	110,2(6)	N(2)—C(5)—C(7)	115,5(9)
C(5)—N(2)—C(2)'	123,4(7)	C(4)—C(5)—C(7)	122,4(9)
C(5)—N(2)—Au(1)	125,4(6)	O(1)—Cl(1)—O(1)'	114,6(12)
C(2)'—N(2)—Au(1)	109,9(6)	O(1)—Cl(1)—O(2)'	108,7(8)
N(1)—C(1)—C(2)	111,2(7)	O(1)—Cl(1)—O(2)	109,2(7)
N(2)'—C(2)—C(1)	110,0(7)	O(2)'—Cl(1)—O(2)	106,1(14)
N(1)—C(3)—C(4)	123,9(8)		

(1)–(4) представляются нам нетривиальными, поскольку нам не известны другие реакции, в которых соли золота(III) использовались бы для введения в лиганда галогенов.

При бромировании комплексов $[\text{AuA}]^{2+}$ и $[\text{AuB}]^+$ в спектрах поглощения наблюдаются изобesticеские точки: при 28700 см^{-1} ($C_{\text{AuBr}_4} : C_{\text{AuA}} = 0 \div 1$) и при 26200 см^{-1} ($C_{\text{AuBr}_4} : C_{\text{AuB}} = 0 \div 2$)

(рис. 1). Максимумы светопоглощения бромсодержащих комплексов в водном растворе наблюдаются при 27700 см^{-1} , $\epsilon = 8800 \text{ л/моль}\cdot\text{см}$ (комплекс $[\text{Au}(\text{C}_9\text{H}_{18}\text{N}_4\text{Br})]^{2+}$) и при 25600 см^{-1} , $\epsilon = 9000 \text{ л/моль}\cdot\text{см}$ (комплекс $[\text{Au}(\text{C}_{14}\text{H}_{20}\text{N}_4\text{Br}_2)]^+$). Введение атома брома в лиганда приводит к сдвигу максимумов светопоглощения (по сравнению с исходными комплексами $[\text{AuA}]^{2+}$ и $[\text{AuB}]^+$) в низкочастотную область (на 1700 и 1600 см^{-1} соответственно). Практически такой же

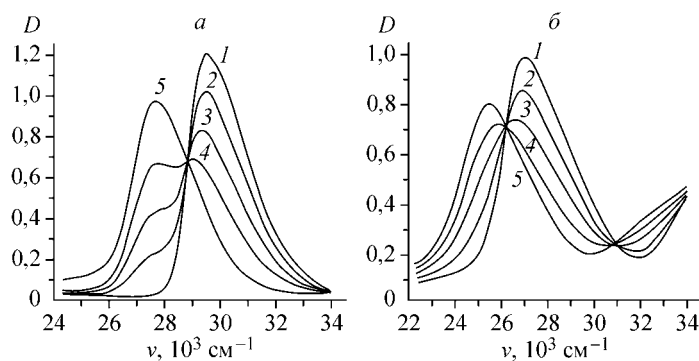


Рис. 1. Электронные спектры поглощения: *a* — водных растворов $[\text{AuA}](\text{ClO}_4)_2$ и HAuBr_4 ; $C_{\text{AuA}} = 0,46 \cdot 10^{-4}$ моль/л; $C_{\text{AuBr}_4} = 0$ (1), $1,2 \cdot 10^{-5}$ (2), $2,3 \cdot 10^{-5}$ (3), $3,5 \cdot 10^{-5}$ (4), $4,7 \cdot 10^{-5}$ (5) моль/л, $C_{\text{HBr}} = 0,0035$ моль/л; *l* = 2 см; *b* — водно-органических (H_2O —ДМФА) растворов $[\text{AuB}]\text{ClO}_4$ и HAuBr_4 ; $C_{\text{AuB}} = 1,04 \cdot 10^{-4}$ моль/л; $C_{\text{AuBr}_4} = 0$ (1), $0,51 \cdot 10^{-4}$ (2), $1,04 \cdot 10^{-4}$ (3), $1,55 \cdot 10^{-4}$ (4), $2,09 \cdot 10^{-4}$ (5) моль/л; C_{HBr} : $C_{\text{AuBr}_4} = 75$; $C_{\text{ДМФА}} = 74$ —90 об.%; *l* = 1 см

сдвиг максимумов полос поглощения электронных спектров мы наблюдали при образовании β -хлорированных макроциклического $([\text{Au}(\text{C}_{14}\text{H}_{20}\text{N}_4\text{Cl}_2)]^+)$ и ациклического $[\text{Au}(\text{C}_9\text{H}_{18}\text{N}_4\text{Cl})]^{2+}$ комплексов золота(III) [7, 8].

β -Бромированные комплексы выделены нами в виде перхлоратных солей. Соединения устойчивы на воздухе не менее полугода при комнатной температуре. Ациклический комплекс **III** хорошо растворим в воде, ДМФА, слабо растворим в спирте, ацетоне; макроциклический комплекс **VI** хорошо растворим в ДМФА, слабо растворим в спирте, ацетоне, плохо растворим в воде. В водных растворах кислот (HClO_4 , H_2SO_4) оба комплекса подвергаются обратимому протонированию; в крепкой соляной кислоте комплекс $[\text{Au}(\text{C}_9\text{H}_{18}\text{N}_4\text{Br})]^{2+}$ разлагается с образованием иона AuCl_4^- .

Кристаллические структуры **III** и **VI** имеют ионный характер. Они составлены из дискретных комплексных катионов $[\text{Au}(\text{C}_9\text{H}_{18}\text{N}_4\text{Br})]^{2+}$ (**III**), $[\text{Au}(\text{C}_{14}\text{H}_{20}\text{N}_4\text{Br}_2)]^+$ (**VI**) и внешнесферных перхлорат-анионов ClO_4^- . При этом в соединении **III** имеются два независимых катиона аналогичного строения. Строение катионов в **III** и **VI** показано на рис. 2, *a*, *b*.

В катионах $[\text{Au}(\text{C}_9\text{H}_{18}\text{N}_4\text{Br})]^{2+}$ и $[\text{Au}(\text{C}_{14}\text{H}_{20}\text{N}_4\text{Br}_2)]^+$ атом золота координирует четыре атома азота с плоско-квадратной координацией. В комплексе **III** длины связей $\text{Au}-\text{N}$ шестичленных колец близки между собой и равны в среднем 1,977(7) и 1,978(7) Å; в открытой части катионов

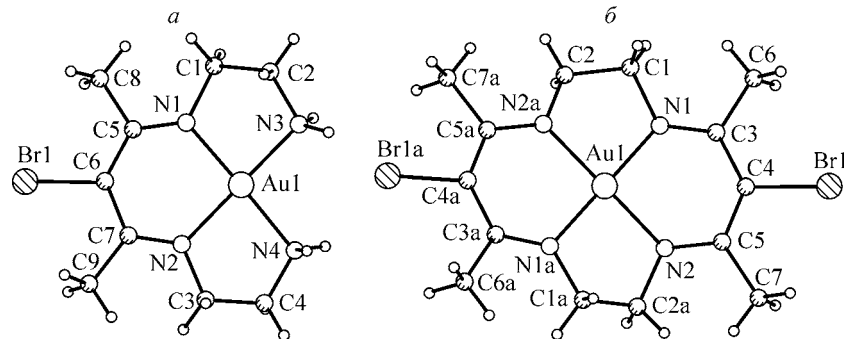


Рис. 2. Строение комплексных катионов с нумерацией неводородных атомов: *a* — ацентрический катион $[\text{Au}(\text{C}_9\text{H}_{18}\text{N}_4\text{Br})]^{2+}$ в комплексе **III**, *b* — катион $[\text{Au}(\text{C}_{14}\text{H}_{20}\text{N}_4\text{Br}_2)]^+$ в комплексе **VI**. Кружки без нумерации — атомы водорода

расстояния Au—N(H₂) изменяются в интервале от 2,026(7) до 2,050(7) Å, что сравнимо с рассчитанной длиной ковалентной связи Au—N (2,04 Å) [10]. В комплексе VI в шестичленных кольцах длины связей Au—N равны 1,978(7) и 1,985(7) Å. Углы N—Au(1)—N изменяются от 84,1(3) до 96,5(3)° в III и равны 85,9(3) и 94,1(3)° в VI.

Расчет среднеквадратичных плоскостей AuN₄ показал незначительное отклонение от них атомов N в среднем на 0,016 Å как в III, так и в VI; атомы Au практически не выходят из этих плоскостей (0,021 и 0,001 Å в III, 0,003 Å в VI). В результате координационный узел AuN₄ имеет форму искаженного квадрата со сторонами, равными 2,688—3,053 Å в III и 2,701—2,900 Å в VI.

В комплексе III шестичленные β-диимиинатные кольца в обоих независимых катионах практически плоские, максимальные отклонения атомов от их среднеквадратичных плоскостей составляют 0,056 и 0,047 Å. Атомы C(8), C(9), Br(1) отклоняются от плоскости кольца на -0,197, 0,266 и -0,208 Å, атомы C(8a), C(9a) и Br(1a) — на -0,203, 0,261, -0,178 Å соответственно. Длины связей N—C и C—C шестичленных колец Au(1)N(1)C(5)C(6)C(7)N(2) и Au(1a)N(1a)C(5a)C(6a)C(7a)N(2a) имеют значения, промежуточные между единичными и двойными связями (см. табл. 2 и 3). Пятичленные этилендиаминовые кольца имеют конформацию конверта: атомы C(2), C(4) и C(2a), C(4a) отклоняются от среднеквадратичных плоскостей из четырех атомов Au(1)N(1)N(3)C(1), Au(1)N(2)N(4)C(3) и Au(1a)N(1a)N(3a)C(1a), Au(1a)N(2a)N(4a)C(3a) на 0,621, -0,540 и 0,642, -0,574 Å соответственно.

Шестичленные β-диимиинатные кольца в комплексе VI практически плоские, максимальное отклонение атомов от их среднеквадратичных плоскостей составляет 0,0401 Å, при этом атомы C(6), C(7), Br(1) не нарушают плоского строения. Пятичленные этилендиаминовые кольца в этом комплексе имеют также конформацию конверта с отклонением атома C(1) от среднеквадратичной плоскости из атомов Au(1)N(1)N(2a)C(2) на 0,397 Å.

Независимые перхлорат-анионы имеют тетраэдрическое строение, расстояния Cl—O изменяются от 1,258(13) до 1,449(10) Å в III и от 1,361(9) до 1,404(11) Å в VI.

На рис. 3 представлена проекция структуры III на плоскость (100). Дискретные катионы и анионы располагаются на уровнях при $y \approx 0,25$ и $y \approx 0,75$, т.е. в слоях, параллельных плоскости (010). Перхлорат-анионы осуществляют связь между катионами с помощью водородных связей, кратчайшие из которых (N(4)—H...O(7) = 2,903, N(4)—H...O(12) = 2,924 Å) показаны штриховыми линиями. В структуре имеются также короткие контакты C...O, равные 2,990 Å (C(2)...O(8)), 3,039 Å (C(1)...O(8)). В обеих независимых молекулах комплекса III ближайшие атомы кислорода двух противолежащих ионов ClO₄⁻ расположены на 3,214, 3,356 и 3,197, 3,269 Å соответственно от атомов Au(1) и Au(1a). Эти расстояния длиннее суммы ковалентных радиусов для атомов золота и кислорода (2,06 Å), но короче, чем сумма ван-дер-ваальсовых радиусов атомов Au и O [10] (3,64 Å).

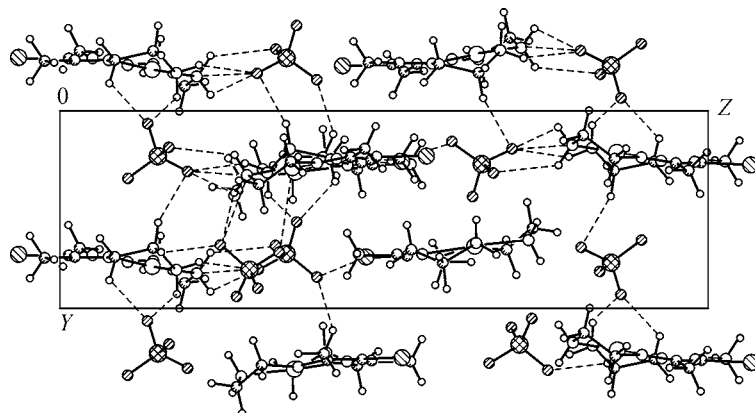


Рис. 3. Упаковка ионов в структуре III. Штриховыми линиями показаны водородные связи (проекция на плоскость 100)

Таблица 6

Длины связей d , Å и валентные углы ω , град. в плоских фрагментах структур I—VI

Связь	d			
	I O	II O	III	
	Au(1)	Au(1A)		
Au(1)—N(2)	1,971(10)	1,968(5)	1,977(7)	1,977(7)
Au(1)—N(1)	1,979(9)	1,980(6)	1,977(7)	1,979(7)
Au(1)—N(3)	2,015(12)	2,043(6)	2,026(7)	2,041(8)
Au(1)—N(4)	2,055(9)	2,047(5)	2,036(7)	2,050(7)
N(1)—C(5)	1,309(14)	1,304(9)	1,323(12)	1,342(11)
N(2)—C(7)	1,346(14)	1,332(9)	1,308(11)	1,321(11)
C(5)—C(6)	1,382(18)	1,42(1)	1,405(14)	1,413(13)
C(6)—C(7)	1,406(17)	1,381(9)	1,424(14)	1,394(13)
C(6)—Cl(1)	—	1,747(7)	—	—
C(6)—Br(1)	—	—	1,923(9)	1,921(8)
Угол	ω			
N(2)—Au(1)—N(1)	95,7(4)	94,8(2)	94,7(3)	94,7(3)
N(1)—Au(1)—N(3)	83,7(4)	84,1(2)	84,7(3)	84,1(3)
N(2)—Au(1)—N(4)	82,7(4)	84,0(3)	84,1(3)	84,7(3)
N(3)—Au(1)—N(4)	97,8(5)	97,1(3)	96,4(3)	96,6(3)
C(5)—N(1)—Au(1)	123,7(8)	124,1(4)	124,2(6)	124,3(6)
C(7)—N(2)—Au(1)	122,7(8)	124,3(5)	124,4(7)	124,3(6)
N(1)—C(5)—C(6)	123,9(12)	123,5(6)	122,3(9)	122,2(8)
C(7)—C(6)—C(5)	129,9(12)	129,2(6)	129,3(8)	129,6(8)
N(2)—C(7)—C(6)	123,1(11)	123,4(6)	122,9(8)	123,2(8)
d				
Связь	IV	V	VI	
Au(1)—N(2)	1,988(5)	1,983(11)	1,978(7)	
Au(1)—N(1)	1,975(5)	1,975(11)	1,985(7)	
N(1)—C(3)	1,321(9)	1,34(2)	1,310(12)	
N(2)—C(5)	1,303(9)	1,33(2)	1,325(12)	
C(3)—C(4)	1,391(10)	1,41(2)	1,403(14)	
C(4)—C(5)	1,408(10)	1,37(2)	1,397(13)	
C(4)—Cl(1)	—	1,77(1)	—	
C(4)—Br(1)	—	—	1,917(9)	
Угол	ω			
N(2)—Au(1)—N(1)	95,7(2)	94,8(5)	94,1(3)	
C(3)—N(1)—Au(1)	123,4(5)	124(1)	123,9(6)	
C(5)—C(4)—C(3)	129,4(7)	131(1)	129,6(9)	
N(2)—C(5)—C(4)	124,4(7)	122(1)	122,2(8)	
C(5)—N(2)—Au(1)	122,9(5)	124(1)	125,4(6)	
N(1)—C(3)—C(4)	123,7(7)	122(1)	123,9(8)	

Упаковка комплекса VI в проекции вдоль оси z представлена на рис. 4. Изолированные катионы располагаются в слое, параллельном плоскости (100) при $x = 0$. При $x = 0,5$ располагаются перхлоратные группы с атомом Cl(1) в частной позиции, которые объединяют катионы посредством контактов Br...O(1) = 3,383(12) Å.

Рис. 4. Проекция кристаллической структуры VI на плоскость (001)

Анализ рентгеноструктурных данных ациклических (I—III) и макроциклических (IV—VI) комплексов золота(III), у которых центральный углеродный атом шестичленных диминатных колец связан с атомами водорода, хлора, брома, показывает, что 1) все комплексы имеют плоско-квадратную координацию Au(III) — узел AuN_4 ; 2) значения длин связей Au—N, C—N, C—C и углов шестичленных диминатных колец остаются практически неизменными при замене атома водорода у центрального углеродного атома C(6) на атомы галогенов Cl, Br (табл. 6). Следовательно, можно считать эти структуры аналогичными и основополагающую роль в них нужно отвести плоско-квадратному комплексообразующему катиону.

В ИК спектре ациклического комплекса III наблюдаются полосы, соответствующие валентным (3264 — 3124 см^{-1}) и деформационным (1596 см^{-1}) колебаниям координированных NH_2 -групп. Валентные колебания метильных и метиленовых групп ациклического (III) и макроциклического (VI) комплексов проявляются в интервале 3000 — 2800 см^{-1} . Колебаниям делокализованных связей иминатных колец в спектрах III и VI соответствует полоса при 1535 см^{-1} . Полосы $\nu(\text{Au—N})$ находятся в области 570 — 400 см^{-1} [11].

Замещение атомов водорода при β -углеродных атомах шестичленных хелатных колец на атомы галогена (Cl, Br) приводит к изменениям в ИК спектрах комплексов, а именно: полоса $\nu(\text{CH})$, присутствующая в моль/л и IV (3085 см^{-1}), исчезает в замещенных комплексах II, III, V, VI (табл. 7). Кроме того, нами обнаружено, что чувствительными к замещению в исследуемых

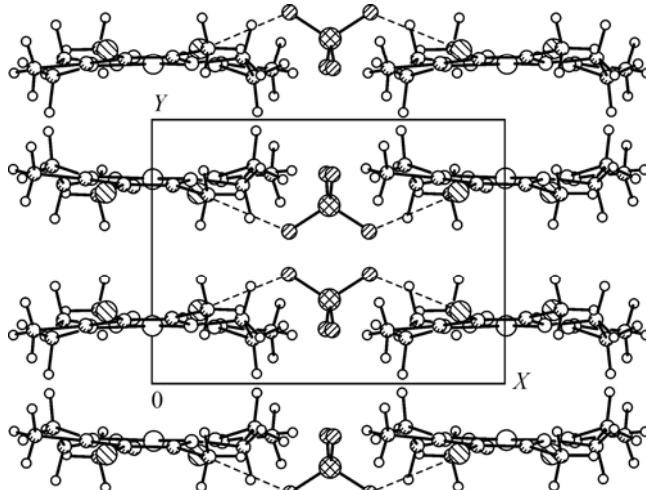


Таблица 7

Основные колебательные частоты (см^{-1}) в спектрах соединений I—VI

I	II	III	IV	V	VI	Отнесение
3254	3255	3264				$\nu(\text{NH}_2)$
3225	3219	3226				
3120	3229	3123				
3085			3085			$\nu(\text{CH})$
2970	2978	2975	2970	2960	2970	
2925	2932	2935	2930	2920	2930	$\nu(\text{CH}_3), \nu(\text{CH}_2)$
2850	2855	2870	2870	2850	2855	
1592	1593	1595				$\delta(\text{NH}_2)$
1558	1545	1535	1540	1540	1535	
1526			1520			$\nu(\text{C—C}) + \nu(\text{C—N})$
1100	1100	1100	1100	1100	1100	$\nu_3(\text{ClO}_4)$
839	759	856	790	830	824	
793	777	778	770			$\delta_{\text{скел}}(\text{CH}_n, \text{NH}_2)$
773						
622	624	627	620	620	623	$\nu_4(\text{ClO}_4)$

комплексах золота(III) является область 860—770 см⁻¹, где расположены внеплоскостные колебания $\gamma(\text{CH})$, смешанные со скелетными колебаниями лиганда, и область колебаний кольца (1560—1526 см⁻¹), где замещение атома водорода на галоген приводит к уменьшению числа полос спектра (см. табл. 7).

СПИСОК ЛИТЕРАТУРЫ

1. Ячимирский К.Б., Кольчинский А.Г., Павличук В.В., Таланова Г.Г. Синтез макроциклических соединений. – Киев: Наукова думка, 1987.
2. Honeybourne C.L. // Inorg. Nucl. Chem. Lett. – 1975. – **11**, N 3. – P. 191 – 194.
3. Busch D.H. // Inorganic Syntheses. – N.Y.: Wiley, 1978. – **18**. – P. 2 – 52.
4. Ferrara I.P., Dabrowiak I.C. // Inorg. Nucl. Chem. Lett. – 1978. – **14**, N 1. – P. 31 – 35.
5. Place Д.А., Ferrara G.P., Harland J.J., Dabrowiak J.C. // J. Heterocyclic Chem. – 1980. – **17**, N 3. – P. 439 – 443.
6. Афанасьева В.А., Глинская Л.А., Клевцова Р.Ф. и др. // Журн. структур. химии. – 2003. – **44**, № 1. – С. 83 – 89.
7. Афанасьева В.А., Глинская Л.А., Клевцова Р.Ф. и др. // Там же. – 2005. – **46**, № 5. – С. 902 – 908.
8. Афанасьева В.А., Байдина И.А., Миронов И.В. и др. // Там же. – 2000. – **41**, № 5 – С. 1019 – 1026.
9. Sheldrick G.M. SHELX-97, release 97-2. – University of Goettingen, Germany, 1998.
10. Полинг Л. Природа химической связи. – М.; Л.: Госхимиздат, 1947.
11. Паддефет Р. Химия золота. – М.: Мир, 1982.